
タイ国立科学技術開発庁（タイ王国） 研修報告書
高速度ビデオカメラを用いたコールドワイヤーTIG溶接の
可視化及び機械的特性の評価

工学研究科 機械物理専攻 修士一年 近藤大雅

1. はじめに

2017 8 4 9 1

2. 共同研究課題の決定

(MTEC)

MTEC

TIG

2017 8 4
8 15
8 29
9 1

.

Dr. Nirut Naksuk

.

TIG

RX-6

Table 5.2.1.1

Fig. 5.2.1.1 nac()

808 960nm

Fig. 5.2.1.2



Fig. 5.2.1.1 High speed camera

Table 5.2.1.1 Camera condition

Using lens	AF micro Nikon 105mm
Frame speed, fps	500
Shutter speed, s	1/1k
Diaphragm	32
Frame size	512x512
Band-pass filter, , nm	808/960

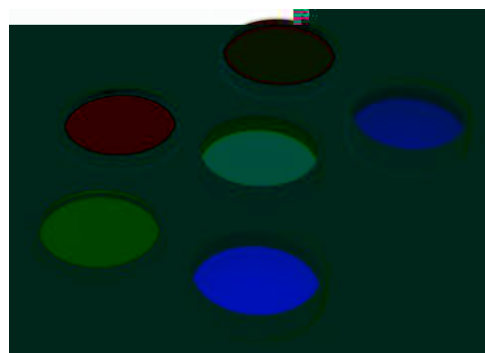


Fig. 5.2.1.2 Band-pass filter

Fig. 5.2.2.1

0.8-2mm/sec

12mm/sec

Table 5.2.2.1

8-15mm/sec

4mm

4-6mm

130

3Hz

125-135A

2-4Hz

1.mm/sec

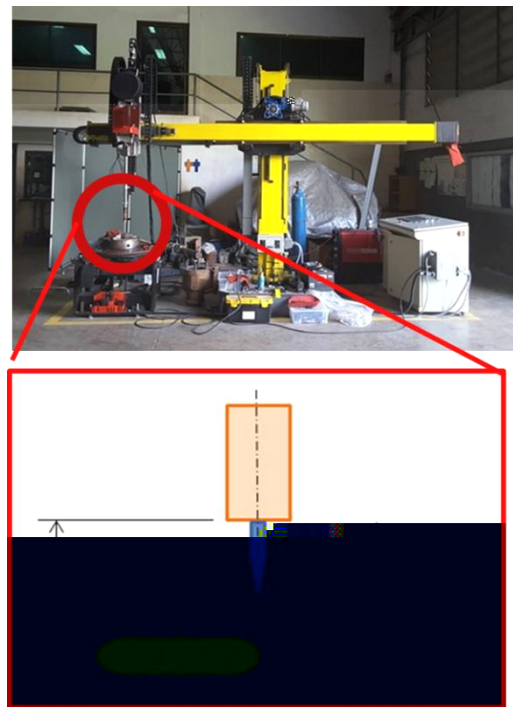


Fig. 5.2.2.1 Experimental image

Table 5.2.2.1

Welding Parameters Data | Welding

Fig. 5.3.1

960nm

808nm

960nm

Fig. 5.3.2

A

B

TIG

1mm

C

TIG

TIG

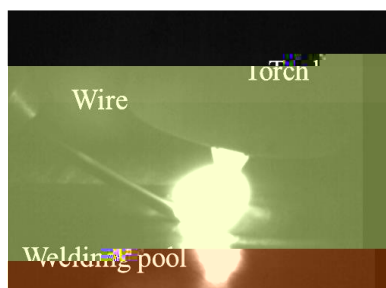
ABC

Fig. 5.3.3 ABC

B

C

Band-pass filter : 808nm



Use Band-pass filter : 960nm

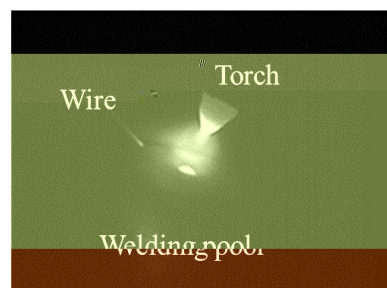


Fig. 5.3.1 Effect of band-pass filter

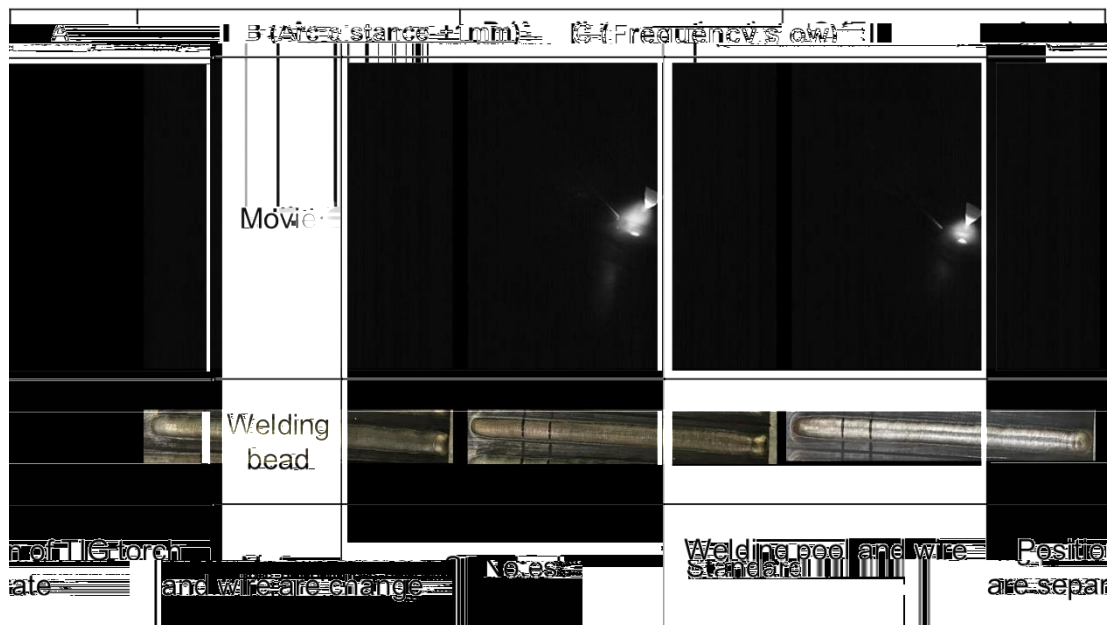


Fig. 5.3.2 Result

➤ Length of head

	A	B	C
Bead width , mm	6.8	7.0	7.1
Bead Hight , mm	1.7	1.7	1.8
Penetration , mm	1.0	1.0	0.9
HAZ width , mm	2.0	2.4	2.1

➤ Hardness test

	A	B	C
Base metal , HV	132	128	150
HAZ area , HV	179	179	179

Fig. 5.3.3 Mechanical properties

.

/

Dr. Nirut Naksuk
